

# 酸性河川における鉄酸化バクテリアの鉄酸化作用に関する研究

東北大学 学生員 大久保孝樹  
東北大学 正会員 野池 達也  
東北大学 学生員 沢口 明

1. はじめに；鉄酸化バクテリアは、主に硫化鉄を含有する鉱山地域に生息し、その排水中の第一鉄を第二鉄に酸化することによって増殖のエネルギーを得ている。北上川の二次支川である赤川では、処理場が建設される以前、河床に付着した鉄酸化バクテリアによって鉄酸化作用が行なわれていたことが調査によって報告されていた。本研究では、このような酸性河川中の鉄酸化バクテリアによる鉄酸化作用の機構を解明し、また、河川中で浮遊菌と付着菌の二種の存在形態を有する鉄酸化バクテリアの挙動およびその相互関係を把握することを目的としている。その一部として、今回の連続実験では、滞留時間に対する鉄酸化バクテリアの挙動に対する影響について検討を行なった。また、付着菌が粘質物を担体としての中には存在することが知られており、粘質物中の酸素の拡散抵抗により鉄酸化反応が遅延される可能性が考えられるため、その準備的なものとして浮遊菌を用いた回分実験によって鉄酸化バクテリアのDO依存性について検討を行なった。

2. 実験装置および方法；連続実験および回分実験装置は(図-1)(図-2)に示す通りである。鉄酸化バクテリアは赤川より採取したもので、9K培地30°Cでの通気培養を数日間繰り返したものを使用している。

①連続実験では、鉄酸化バクテリアを壁面に付着させたため数日間回分状態を続けて鉄沈着物を付着させた後(表-1)に示す基質を連続投入した。滞留時間を約4~25hrの間で変化させ、水温25°C、流入基質濃度500mg/lをもとで実験を行なった。 ②回分実験では、9K培地25°Cで副歯した鉄酸化バクテリアを遠心分離器で収穫したものを用いた。初期基質濃度は、140mg-Fe<sup>2+</sup>/l~1900mg-Fe<sup>2+</sup>/lの範囲で設定し、栄養塩類を除いたものを利用した。

3. 実験結果および考察； ①連続実験：(図-3)に滞留時間( $\theta$ )と槽内第一鉄濃度(S)の関係を示す。 $\theta$ とSは、 $\theta=23.3\text{ hr}$ の点を除くと直線関係にあり基質に付着した場合の式

$S = S_0 - k_o \cdot \theta$  の関係式によつて表現することができる。直線回帰により  $S_0$  および  $k_o$  を求めた結果  $S = 438\text{ mg/l}$ ,  $k_o = 23.5\text{ mg/l}\cdot\text{hr}$  となった。実験の各Runにおいて流入基質が430~470の間にランダムな値をとっているので、

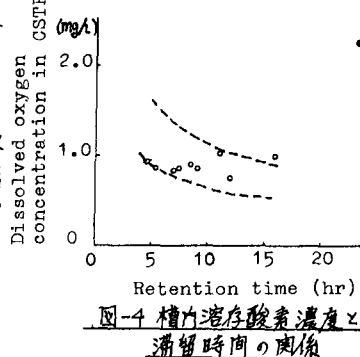


図-4 槽内溶解酸素濃度と滞留時間の関係

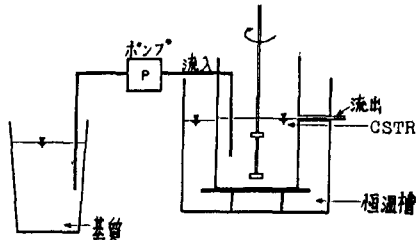


図-1 連続実験装置の概略

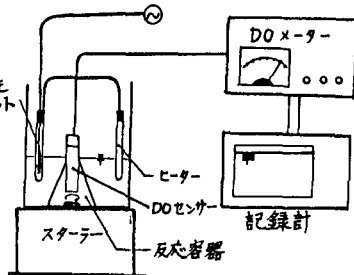


図-2 回分実験装置の概略

表-1 基質組成 (1L中)

成 分	量
FeSO <sub>4</sub> ·7H <sub>2</sub> O	2.5 g (Fe <sup>2+</sup> =500mg/l)
(NH <sub>4</sub> ) <sub>2</sub> SO <sub>4</sub>	166.67 mg
MgSO <sub>4</sub> ·7H <sub>2</sub> O	27.67 mg
KCl	5.56 mg
K <sub>2</sub> HPO <sub>4</sub>	27.76 mg
Ca(NO <sub>3</sub> ) <sub>2</sub>	0.556 mg
10N H <sub>2</sub> SO <sub>4</sub>	1 ml

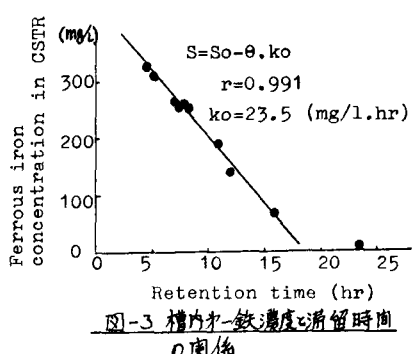


図-3 槽内第一鉄濃度と滞留時間の関係

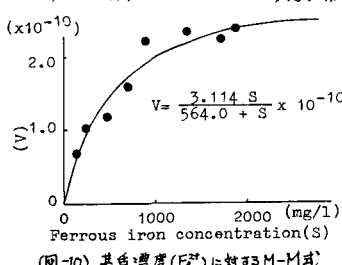
$S_0$ を固定せずに個々の  $K_0$  を計算した結果、 $K_0 = 26.0 \text{ mg/L} \cdot \text{hr}$  となったが、前者とほぼ一致する値が得られている。(図-4) は、滞留時間と槽内 DO の関係を示したもので、図中の破線は、 $K_0 = 25.0 \text{ mg/L} \cdot \text{hr}$ 、流入 DO の変化帯 2.5 ~ 5.4 mg/l の値と(図-5)の関係式を用いて計算した曲線である。ほぼ破線の中に点が入り 0 次反応が成立していることが示されている。一般に生物膜の基質消費速度は 1 ~ 1/2 次の反応に従うことが知られており、この実験で 0 次反応に従ったかは不明であり、今後 DO を制御した実験を行なう必要性があると思われる。(図-5) は比基質消費速度と比酸素消費速度の関係を示したもので、酸素取扱い得られた式の直線回帰により、 $O_2/Fe^{2+}$  の重量比を表わす  $a$  と内性呼吸を表現する項  $b$  を求めた結果を示す。 $0.1343 (\text{mg-O}_2/\text{mg-Fe}^{2+})$ ,  $6.18 \times 10^{-13} (\text{mg}/\text{cell} \cdot \text{hr})$  の結果が得られた。 $a$  の値は化学量論的に求められた比 0.14 とほぼ一致する値である。(図-6) は、 $M = XF/A$  の式を用いて計算した増殖速度と槽内基質濃度の関係を示したものである。乙回に分け実験を行なったものであるが、この関係については再現性がなく定量的把握は困難である。しかし、定性的傾向として基質濃度が減少すると伴い増殖速度も減少していることが示されている。(図-7) は、比基質消費速度と比増殖速度の関係を示したものである。この結果も再現性に乏しいが、増殖収率( $\text{cells}/\text{mg-Fe}^{2+}$ )が  $10^6$  ~  $10^7$  のオーダーに存在することが示されている。

② 回分実験の結果を(図-9) ~ (図-10) に示す。(図-9) は、ホフスティーフロットによって得られた動力学定数を用いて M-M 式の形で表現したものである。基質飽和定数  $K_{m0}$  は、 $0.023 \sim 0.99 (\text{mgO}_2/\text{l})$  の範囲にあり、平均  $0.3 \times 0.053 \text{ mgO}_2/\text{l}$  となり、 $O_2$  に対する親和性が非常に高いことが示された。また、消費速度が双曲線的に変化する点として定義される臨界溶解酸素濃度を大ざっぱに目やすとし求めると  $0.25 \sim 0.5 \text{ mg/l}$  の範囲に存在することが図より読み取れる。(図-9) は、(図-8) の最大比呼吸速度と平均オーフェル濃度を用いて S-S' フロットをしたものである。このプロットより基質に関する M-M 式を求めることができ、(図-10) の式が得られた。ここで得られた  $K_{m0}$  は  $31.7 \sim 52.5 \text{ mg/l}$  の範囲にあると言われている中で高い値に属しており、 $Fe^{2+}$  の拮抗阻害  $k_{in}$  の影響が考えられる。 $V_{maxO_2} = 3.114 \times 10^{-10} \text{ mgO}_2/\text{cell} \cdot \text{hr}$  を量論比 0.14 によって基質消費速度に換算すると  $21.8 \times 10^{-10} \text{ mgFe}^{2+}/\text{hr}$  が得られ、海田氏の  $36.0 \times 10^{-10} \text{ mgFe}^{2+}/\text{cell} \cdot \text{hr}$  の値とオーダー的に一致している。乙基質反応の単純なモデルを使うと。

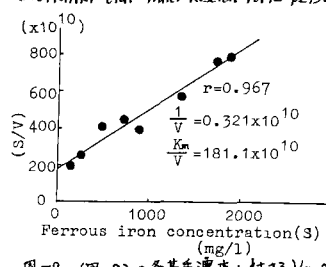
$$V_{O_2} = \frac{21.8 \times 10^{-10} \cdot S}{564 + S} \cdot \frac{(DO)}{0.053 + (DO)}$$

の関係式が得られる。

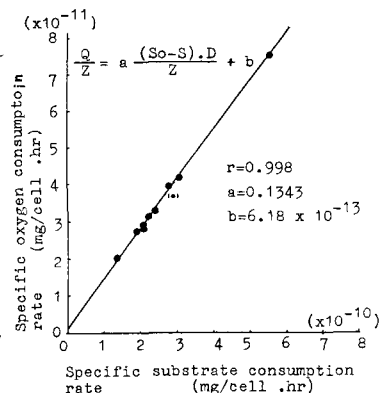
(参考文献: S.OHGAKI et al Water Reseach Vol.12 p243. to 249)



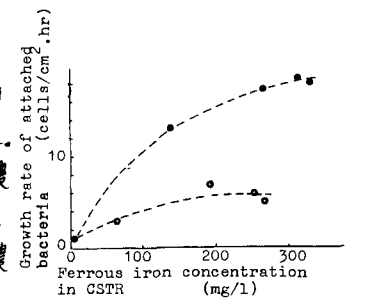
(図-10) 基質濃度( $Fe^{2+}$ )に対するM-M式



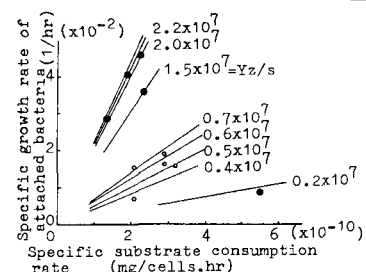
(図-9) (図-8) の各基質濃度に対する  $V_{maxO_2}$  を用いたホフスティーフロット



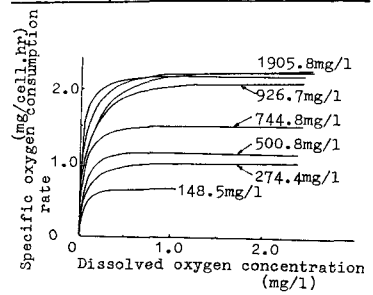
(図-5) 比基質消費速度と比酸素消費速度の関係



(図-6) 槽内オーフェル濃度と単位面積当たりの増殖速度の関係



(図-7) 比基質消費速度と増殖速度の関係



(図-8) 回分実験により得られた M-M 式